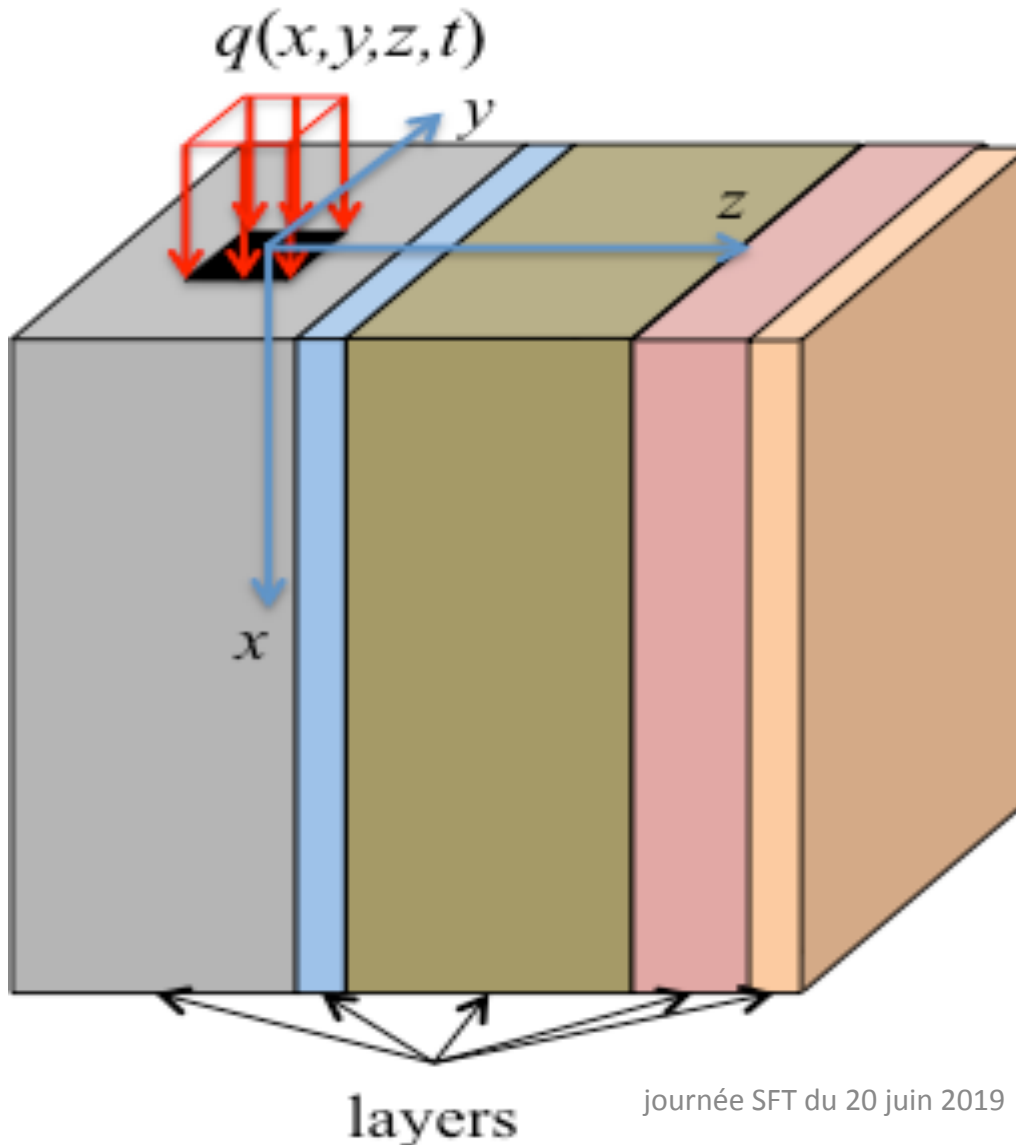


# Modélisation du transfert de chaleur avec sources par quadripôles et impédances thermiques

Jean-Luc Battaglia, Christophe  
Pradère, Emmanuel Ruffio (I2M)

Alain Degiovanni (LEMETA)

# Objectif



Une source de chaleur volumique est appliquée sur une couche constitutive d'un multicouche.

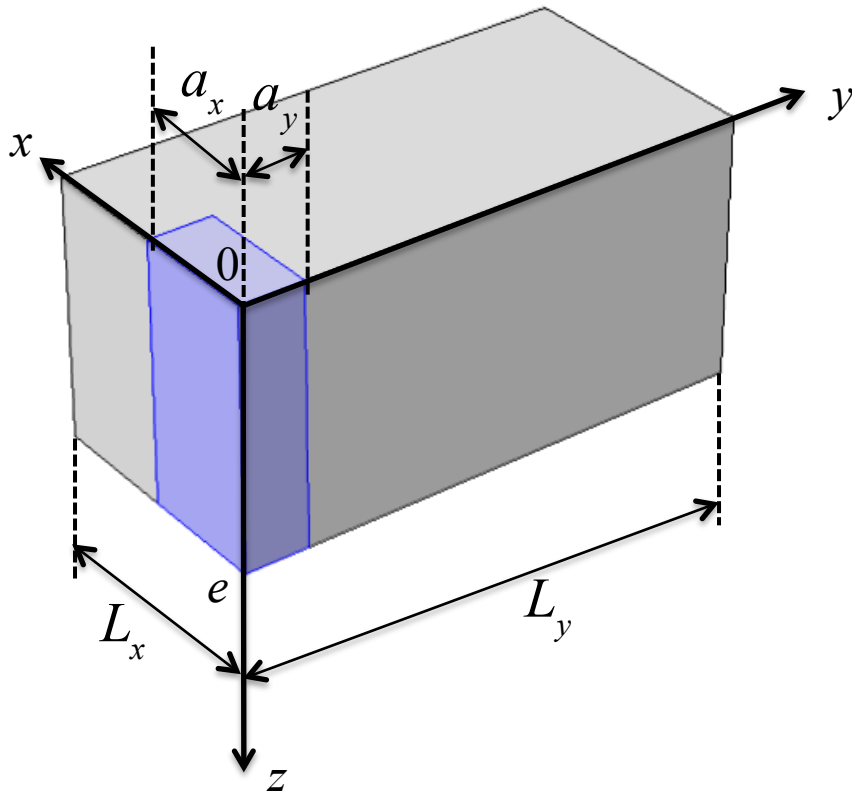
But : déterminer la température moyenne de la source en fonction de sa position sur le système

Applications en caractérisation thermique (thermoréflectance, radiométrie photothermique, SThM)

# Source localisée dans une couche

$$\rho C_p \frac{\partial T(x,y,z,t)}{\partial t} = k_x \frac{\partial^2 T(x,y,z,t)}{\partial x^2} + k_y \frac{\partial^2 T(x,y,z,t)}{\partial y^2} + k_z \frac{\partial^2 T(x,y,z,t)}{\partial z^2} + g(x,y,z,t)$$

for  $0 < x < L_x, 0 < y < L_y, 0 < z < e$ , at  $t > 0$



$$\frac{\partial T(x,y,z,t)}{\partial x} = 0, \text{ at } x=0 \text{ and } x=L_x, t > 0$$

$$\frac{\partial T(x,y,z,t)}{\partial y} = 0, \text{ at } y=0 \text{ and } y=L_y, t > 0$$

$$T(x,y,z,t) = 0, \text{ for } 0 \leq x \leq L_x, 0 \leq y \leq L_y, 0 \leq z \leq e, \text{ at } t = 0$$

CL en z non encore stipulées ici

# Source localisée dans une couche

Transformée de Laplace sur le temps  
Ou régime fréquentiel  $p = j\omega$

$$\theta(x, y, z, p) = \int_0^{\infty} T(x, y, z, t) e^{-pt} dt$$

$$\rho C_p p \theta(x, y, z, p) = k_x \frac{\partial^2 \theta(x, y, z, p)}{\partial x^2} + k_y \frac{\partial^2 \theta(x, y, z, p)}{\partial y^2} + k_z \frac{\partial^2 \theta(x, y, z, p)}{\partial z^2} + \tilde{g}(x, y, z, p)$$

$$\text{for } 0 < x < L_x, 0 < y < L_y, 0 < z < e$$

$$\frac{\partial \theta(x, y, z, p)}{\partial x} = 0, \text{ at } x = 0 \text{ and } x = L_x$$

$$\frac{\partial \theta(x, y, z, p)}{\partial y} = 0, \text{ at } y = 0 \text{ and } y = L_y$$

# Source localisée dans une couche

Transformée de Fourier sur x et y  $\bar{\theta} = \int_0^{L_x} \int_0^{L_y} \theta \cos(\alpha_m x) \cos(\beta_n y) dx dy$

$$\alpha_m = \frac{m\pi}{L_x} \text{ and } \beta_n = \frac{n\pi}{L_y}$$

$$\frac{d^2 \bar{\theta}(\alpha_m, \beta_n, z, p)}{dz^2} - \left( \frac{p}{D_z} + \frac{D_x}{D_z} \alpha_m^2 + \frac{D_y}{D_z} \beta_n^2 \right) \bar{\theta}(\alpha_m, \beta_n, z, p) + \frac{\bar{g}(\alpha_m, \beta_n, z, p)}{k_z} = 0$$

, for  $0 < z < e$

Source uniforme  $g(x, y, z, t) = \begin{cases} g_0 \delta(t) & \text{for } 0 \leq x \leq a_x, 0 \leq y \leq a_y, 0 \leq z \leq e, t > 0 \\ 0 & \text{elsewhere} \end{cases}$

$$g_0 = \begin{cases} g_0 a_x a_y, & n = m = 0 \\ g_0 a_x \sin(a_y \beta_m) / \beta_m, & n = 0, m \neq 0 \\ g_0 a_y \sin(a_x \alpha_n) / \alpha_n, & n \neq 0, m = 0 \\ g_0 \sin(a_y \beta_m) \sin(a_x \alpha_n) / \beta_m \alpha_n, & n \neq 0, m \neq 0 \end{cases}$$

# Source localisée dans une couche

Solution quadripôle

$$\begin{bmatrix} \bar{\theta}_0 \\ \bar{\psi}_0 \end{bmatrix} = \begin{bmatrix} A & B \\ C & A \end{bmatrix} \begin{bmatrix} \bar{\theta}_e \\ \bar{\psi}_e \end{bmatrix} - \begin{bmatrix} X \\ Y \end{bmatrix}$$

$$A = \cosh(\delta_{m,n} e); \quad B = \frac{\sinh(\delta_{m,n} e)}{k_z \delta_{m,n}}; \quad C = k_z \delta_{m,n} \sinh(\delta_{m,n} e)$$

D. Maillet, S. André, J.-C. Batsale, A. Degiovanni, and C. Moyne. *Thermal quadrupoles; solving the heat equation through integral transforms*. Wiley ed., New York, 2000

$$X = \int_0^e \bar{g}(z) \frac{\sinh(\delta_{m,n} z)}{k_z \delta_{m,n}} dz = \bar{g}_0 \frac{\cosh(\delta_{m,n} e) - 1}{k_z \delta_{m,n}^2}$$

$$Y = \int_0^e \bar{g}(z) \cosh(\delta_{m,n} z) dz = \bar{g}_0 \frac{\sinh(\delta_{m,n} e)}{\delta_{m,n}}$$

$$\delta_{m,n}^2 = p/D_z + D_x/D_z \alpha_m^2 + D_y/D_z \beta_n^2$$

# Source localisée dans une couche

Retour à la solution fréquentielle

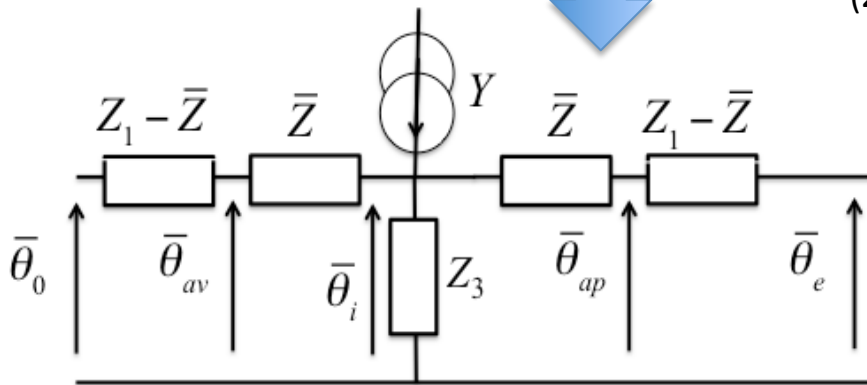
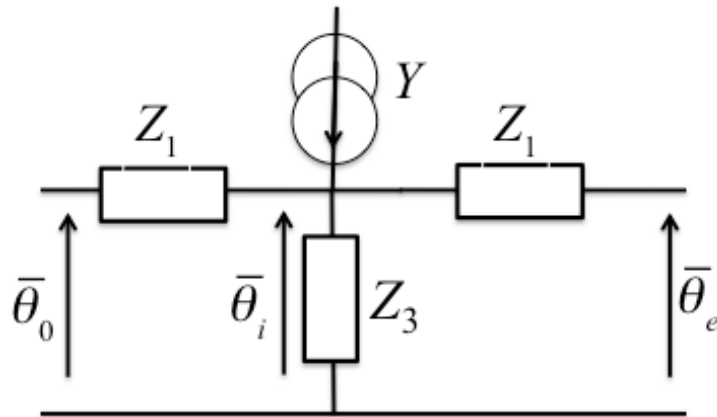
$$\theta = \sum_{m=0}^M \sum_{n=0}^N \frac{\bar{\theta} \cos(\alpha_m x) \cos(\beta_n y)}{N_n N_m}$$

$$N_n = \begin{cases} L_x, n = 0 \\ \frac{L_x}{2}, n \neq 0 \end{cases} \quad N_m = \begin{cases} L_y, m = 0 \\ \frac{L_y}{2}, m \neq 0 \end{cases}$$

Température moyenne à la surface  $z = 0$

$$\begin{aligned} \langle \theta_0 \rangle_{xy}^{1D} &= \frac{1}{L_x L_y} \int_0^{L_x} \int_0^{L_y} \sum_{m=0}^M \sum_{n=0}^N \frac{\bar{\theta} \cos(\alpha_m x) \cos(\beta_n y)}{N_n N_m} dx dy \\ &= \frac{1}{L_x L_y} \sum_{m=0}^M \sum_{n=0}^N \frac{\bar{\theta} \sin(\alpha_m L_x) \sin(\beta_n L_y)}{\alpha_m \beta_n N_n N_m} \end{aligned}$$

# Source localisée dans une couche



J. Pailhes, C. Pradere, J.-L. Battaglia, J. Toutain, A. Kusiak, A.W. Aregba, J.C. Batsale, *Improvement of the thermal quadrupole method for multilayered media with heat sources*, J. Thermal Sciences **53**, 49–55 (2012).

$$Z_1 = \frac{A-1}{C} \quad \text{and} \quad Z_3 = \frac{1}{C}$$

A. Degiovanni, C. Pradere, E. Ruffio, J.-L. Battaglia, *Advanced thermal impedance network for the heat diffusion with sources*, International Journal of Thermal Sciences **130** (2018) 518–524

$$\bar{Z} = \frac{2}{k_z \delta_{m,n}^2 e} \left( 1 - \frac{\delta_{m,n} e}{\sinh(\delta_{m,n} e)} \right)$$

Température moyenne de la source

$$\langle \bar{\theta} \rangle_{xyz} = \frac{\bar{\theta}_{av} + \bar{\theta}_{ap}}{2}$$



# Température moyenne de la source

Température moyenne selon z

$$\langle \bar{\theta} \rangle_z = (\bar{\theta}_0 + \bar{\theta}_e) Z_0 + \frac{Y}{k_z \delta_{m,n}^2} (1 - 2Z_0) \quad \text{Avec} \quad Z_0 = \frac{\cosh(\delta_{m,n} e) - 1}{\delta_{m,n} e \sinh(\delta_{m,n} e)}$$

Ou

$$\langle \bar{\theta} \rangle_z = \left( \left( 2 + \frac{Z_1}{Z_3} \right) \bar{\theta}_i + Z_1 Y \right) Z_0 + \frac{Y}{k_z \delta_{m,n}^2} (1 - 2Z_0)$$

Température moyenne de la source

$$\langle \theta \rangle_{xyz} = \frac{1}{a_x a_y} \sum_{m=0}^M \sum_{n=0}^N \frac{\langle \bar{\theta} \rangle_z \sin(\alpha_m a_x) \sin(\beta_n a_y)}{\alpha_m \beta_n N_n N_m}$$

# Source localisée dans une couche – impédances thermiques

$$\partial T / \partial z = 0 \text{ at } z = 0$$

CL en z

$$T = 0 \text{ at } z = e$$

$$a_x = 0.25 \mu\text{m}$$

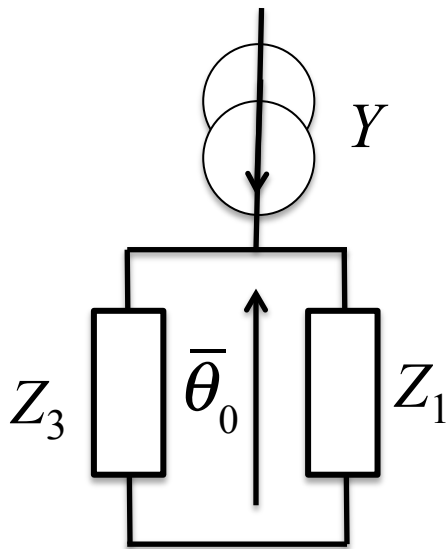
$$a_y = 0.5 \mu\text{m}$$

$$L_x = 2 \mu\text{m}$$

$$L_y = 1 \mu\text{m}$$

$$k_x = k_y = k_z = 1.4 \text{ W} \cdot \text{m} \cdot \text{K}^{-1}$$

$$g_0 = 2.8125 \times 10^{14} \text{ W} \cdot \text{m}^{-3}$$



$$Z_1 = \frac{A-1}{C}$$

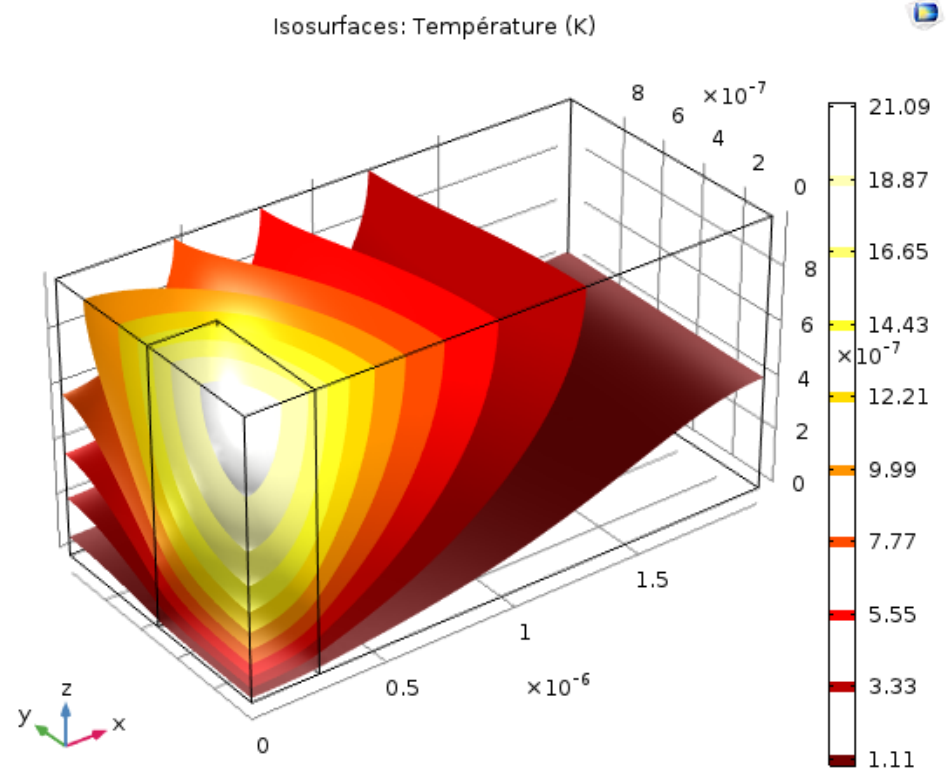
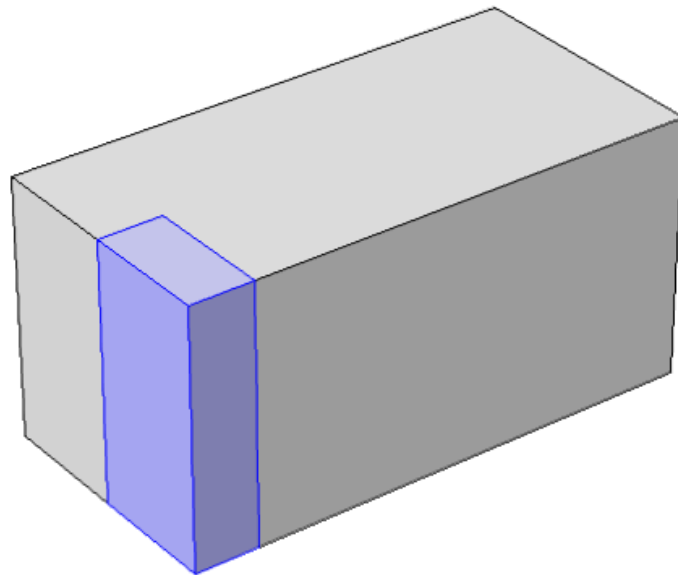
$$Z_3 = \frac{1}{C}$$

$$\bar{\theta}_0 = Z_e \bar{g}, \text{ with } Z_e = Z_1 \parallel Z_3 = \frac{1}{\frac{1}{Z_1} + \frac{1}{Z_3}}$$

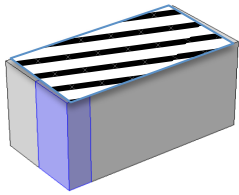
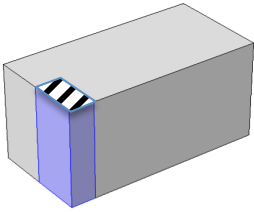
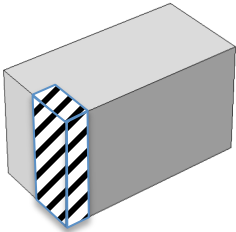
# Source localisée dans une couche - EF

$$f = 1125\text{Hz}$$

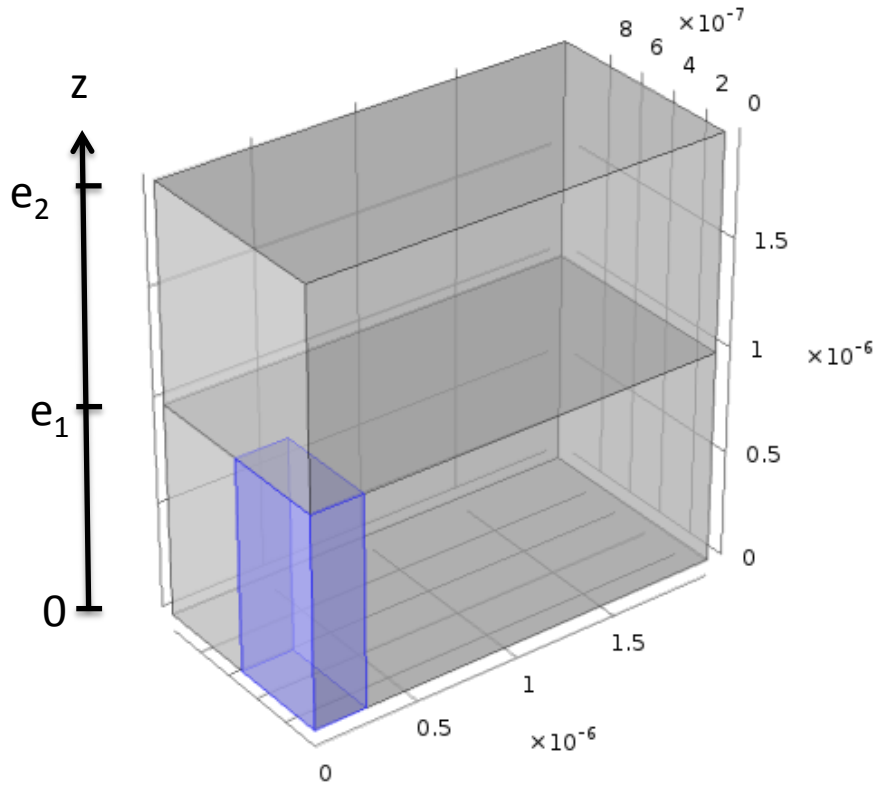
TEST1.MPH



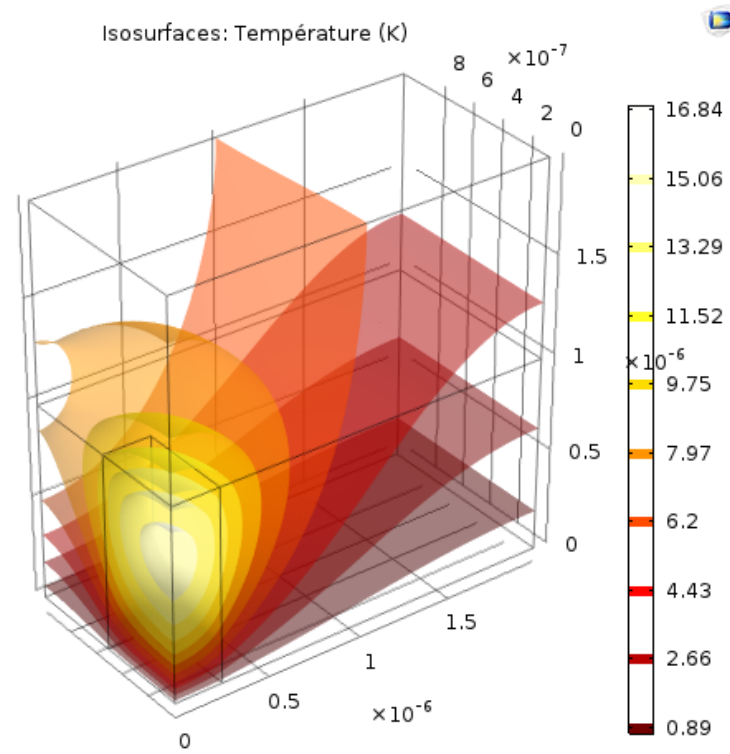
# Source localisée dans une couche - comparaison

	$\langle \theta_0 \rangle_{xy}^{1D}$ 	$\langle \theta_0 \rangle_{xy}^{3D}$ 	$\langle \theta \rangle_{xyz}$ 	CPU time (proc i7, 2.7 MHz)
FEA	6,2778	19.034	13.616	8 s (13082 DoF)
<i>QuadS</i>	6,2777	19.0337	13.6161	0.026 s ( $M=N=100$ )

# 2 couches dont une avec source - EF



Flux nul sur paroi latérale et  $z = e_2$   
 Température nulle sur paroi  $z = 0$

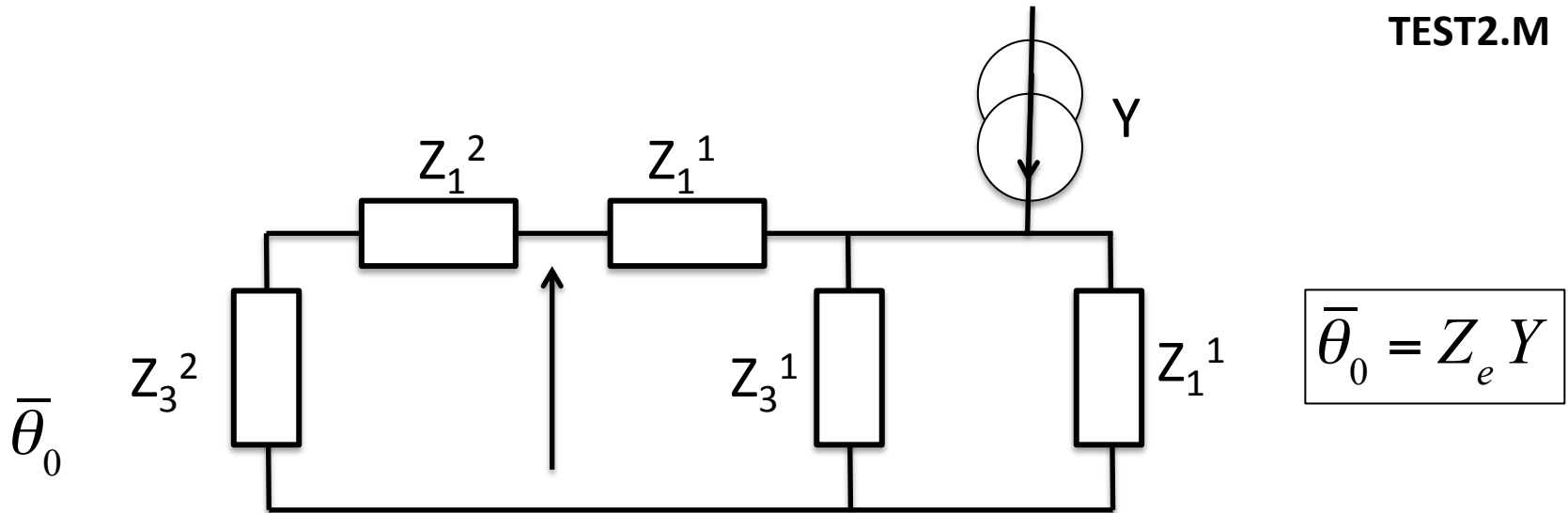


$$\langle T_2 \rangle_{\text{surface en } z=0} = 12,910 \text{ } ^\circ\text{C}$$

$$\langle T_1 \rangle_{\text{surface en } z=0} = 6,2757 \text{ } ^\circ\text{C}$$

# 2 couches dont une avec source-impédances thermiques

TEST2.M

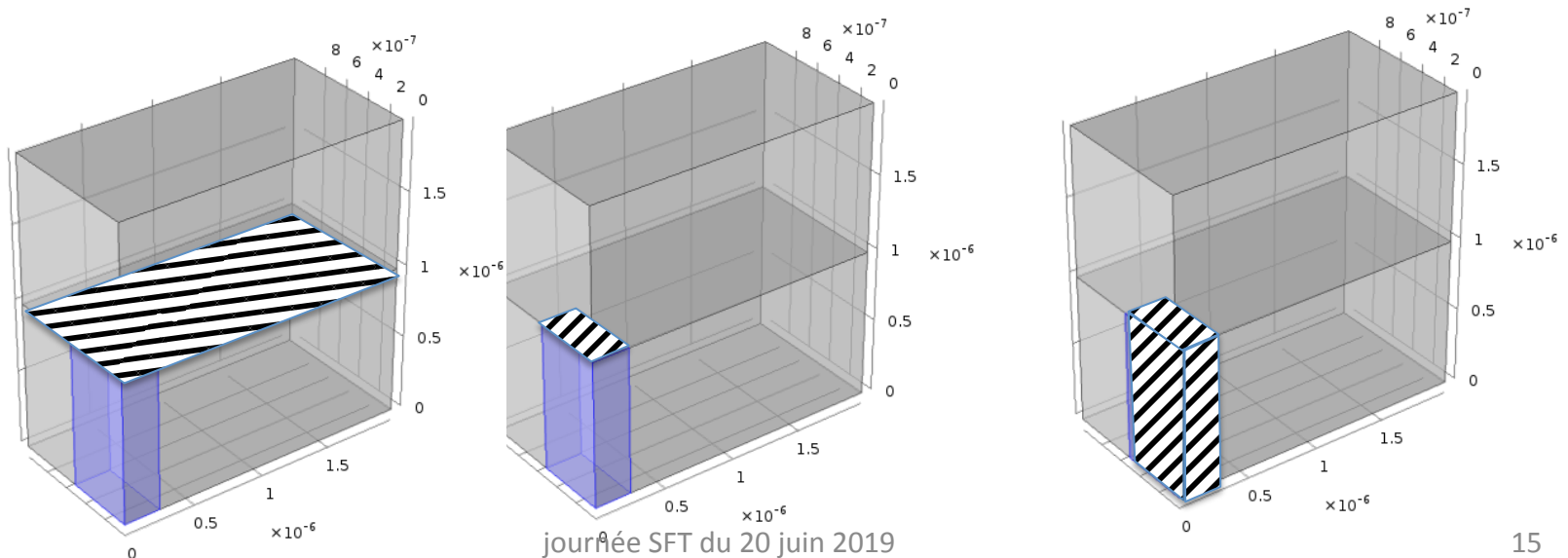


$$\bar{\theta}_0 = Z_e Y$$

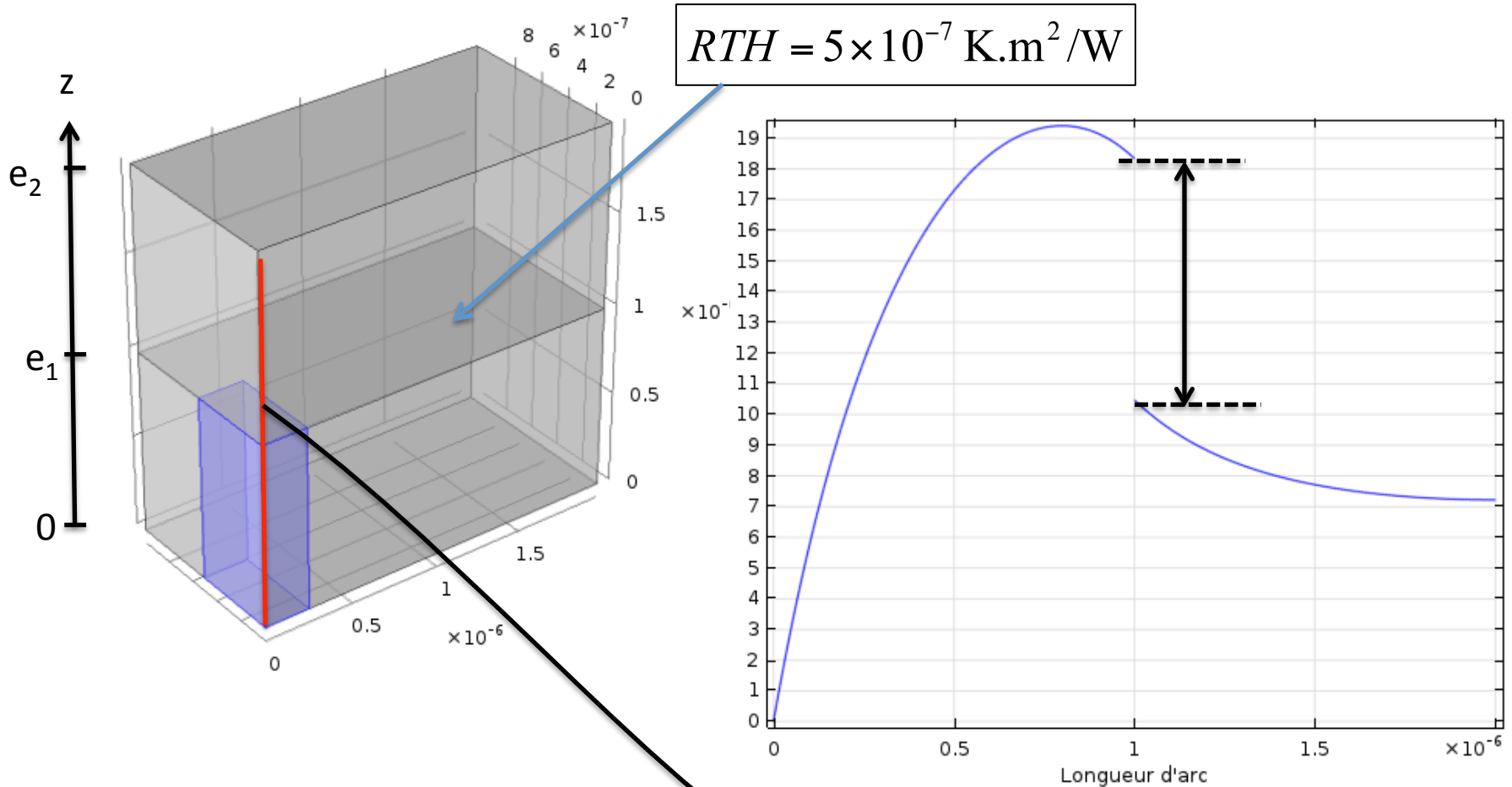
$$Z_e = \frac{Z_1^1 \parallel Z_3^1}{1 + \frac{Z_1^2 + Z_1^1 \parallel Z_3^1}{Z_1^2 + Z_3^2}}$$

# 2 couches - comparaison

	$\langle \theta \rangle_{xy} (1D)$	$\langle \theta \rangle_{xy}$	$\langle \theta \rangle_{xyz}$	CPU (proc i7, 2.7 MHz)
EF	6,2757	12.910	11.653	10 s (23987 DoF)
QuadS	6,2757	12.910	11.652	0.034 s (M=N=100)



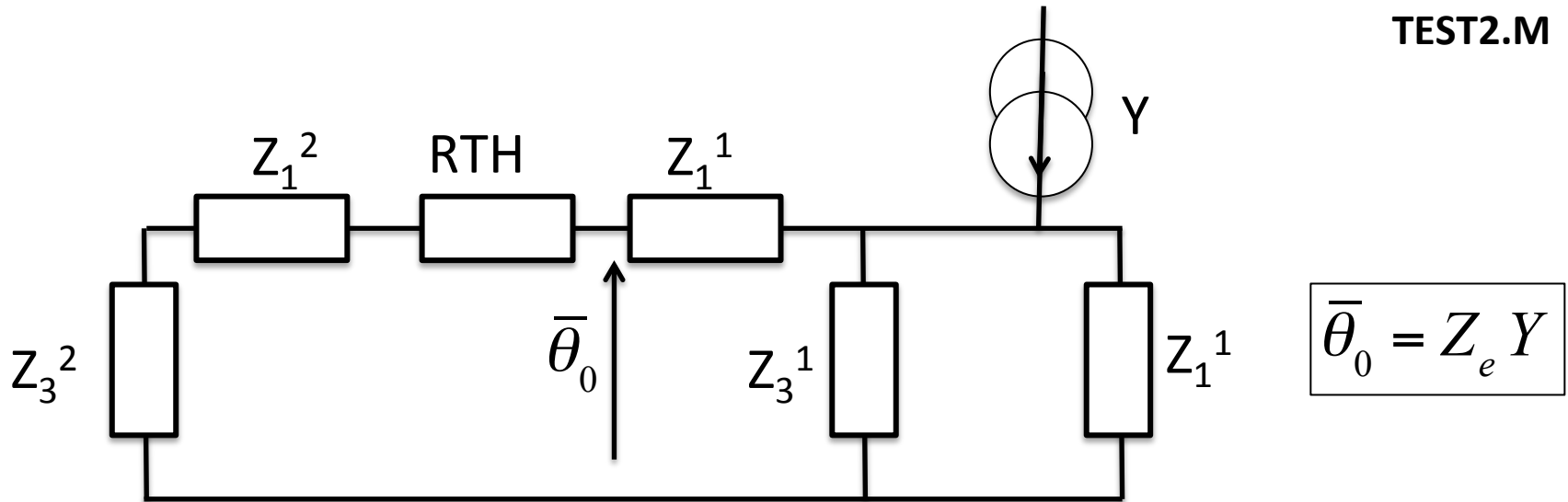
# 2 couches dont une avec source et résistance d'interface - EF



Flux nul sur paroi latérale et  $z = e_2$   
Température nulle sur paroi  $z = 0$



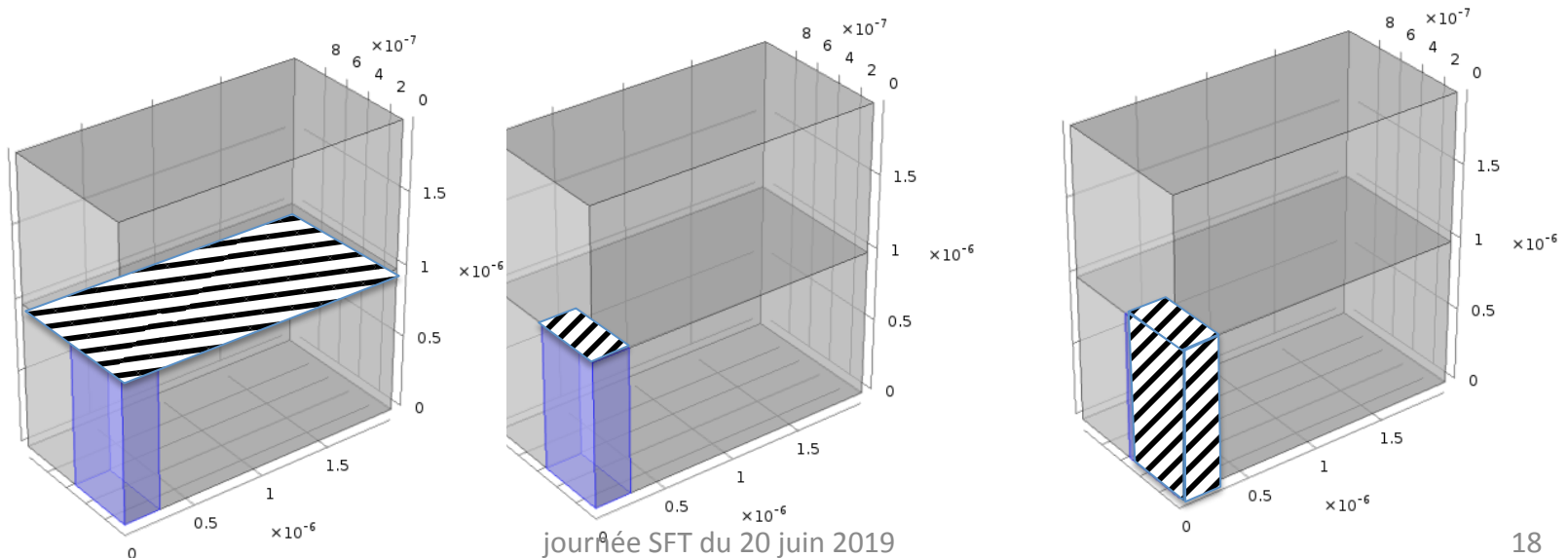
# 2 couches dont une avec source et résistance interface – impédances thermiques



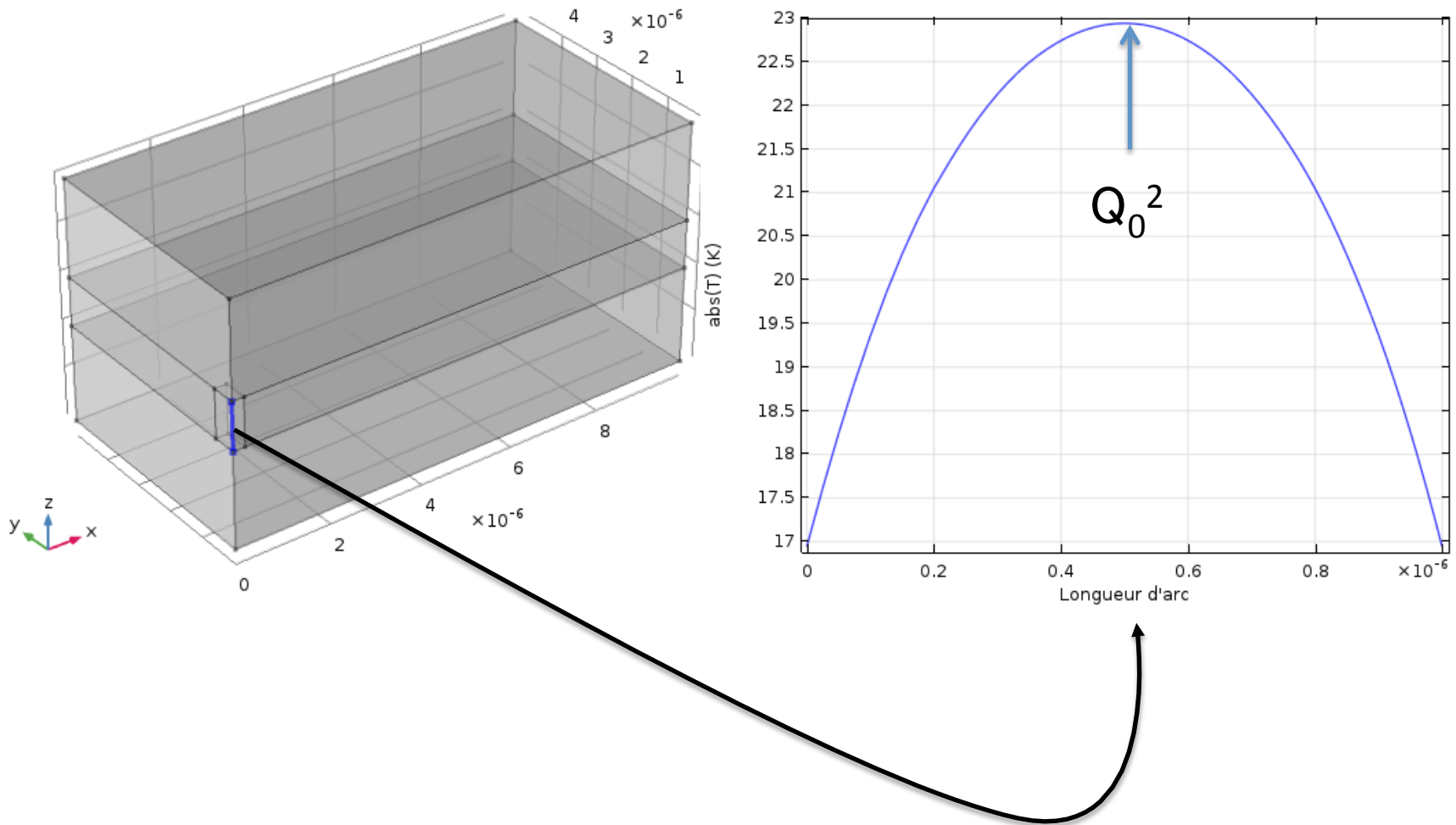
$$Z_e = \frac{Z_1^1 \parallel Z_3^1}{1 + \frac{Z_1^2 + Z_1^1 \parallel Z_3^1}{Z_1^2 + Z_3^2 + RTH}}$$

# 2 couches + RTC - comparaison

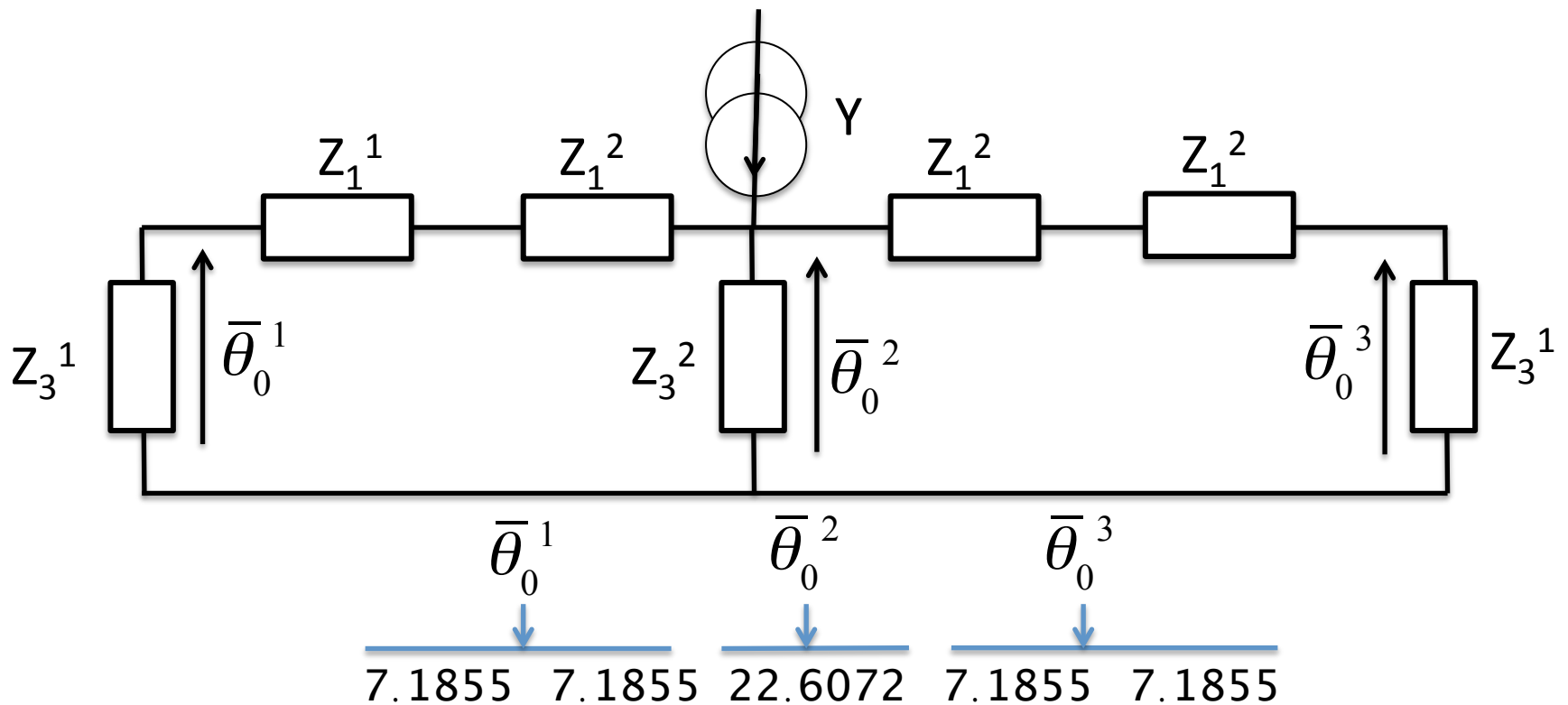
	$\langle \theta \rangle_{xy} (1D)$	$\langle \theta \rangle_{xy}$	$\langle \theta \rangle_{xyz}$	CPU (proc i7, 2.7 MHz)
EF	6,2739	12.815	12.526	10 s (23987 DoF)
QuadS	6,2742	15.857	12.5258	0.034 s (M=N=100)



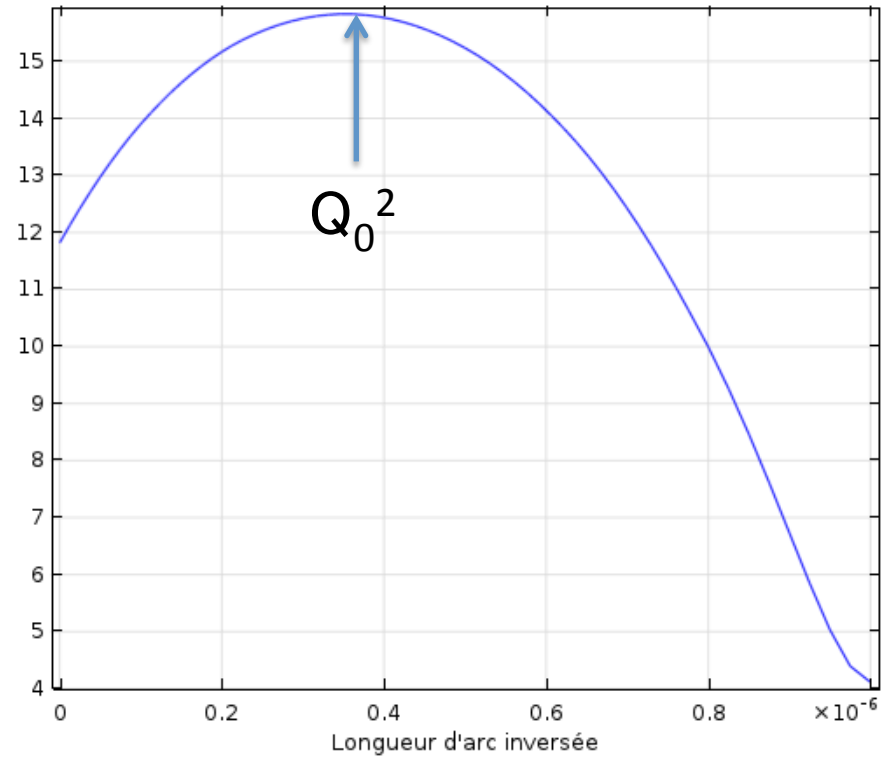
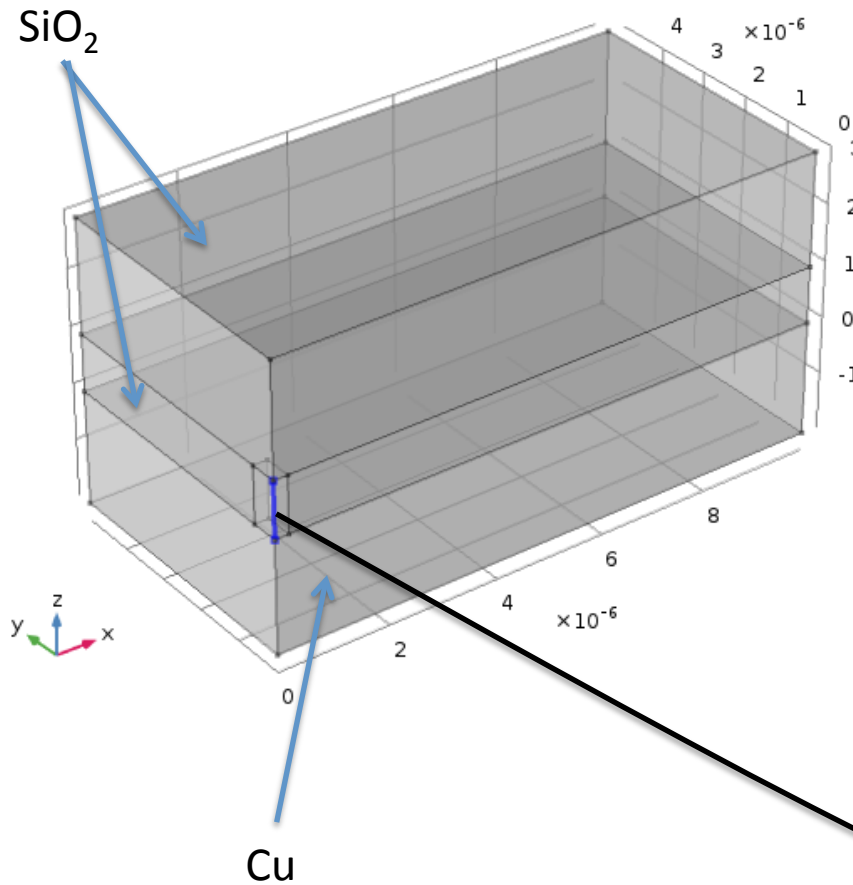
# Multicouches avec terme source localisé - EF



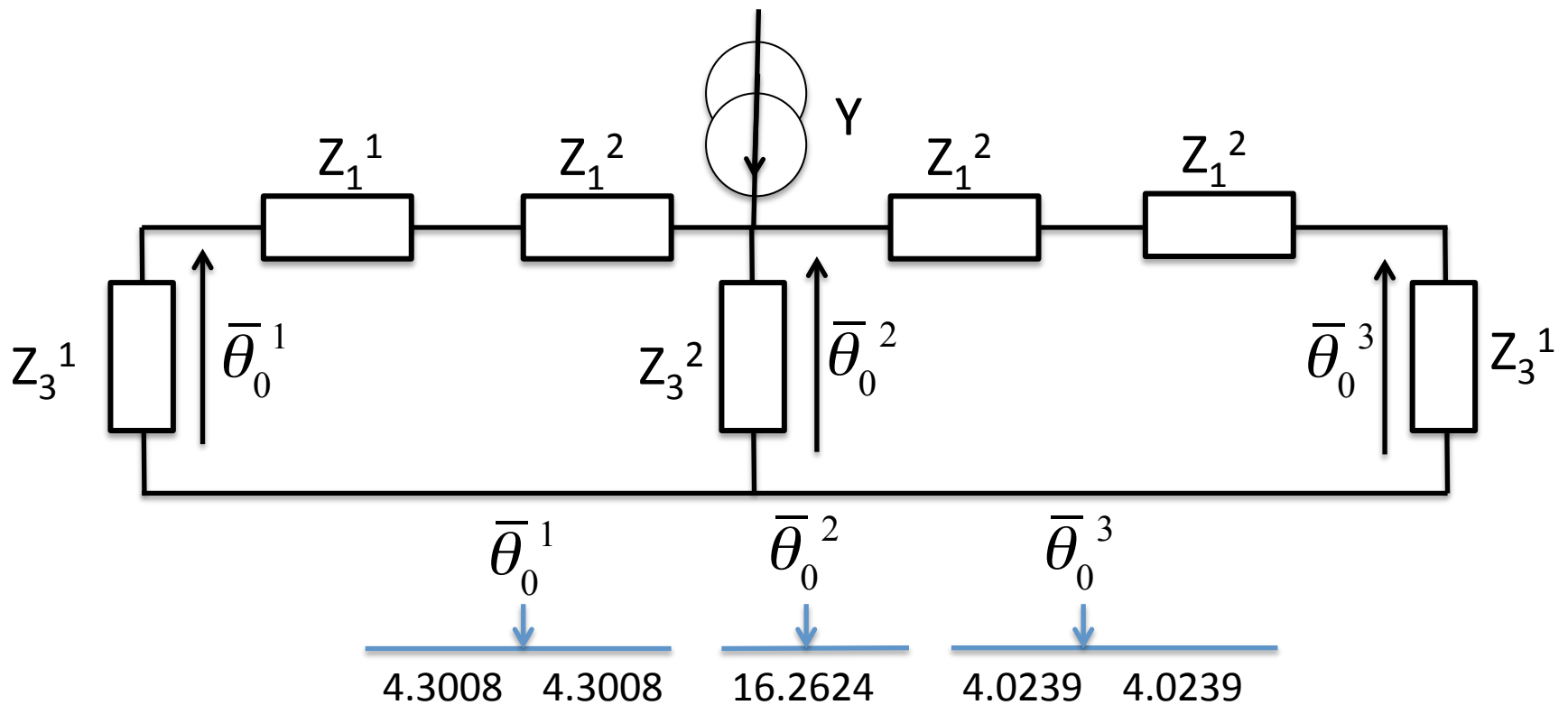
# Multicouches avec terme source localisé - QuadriS



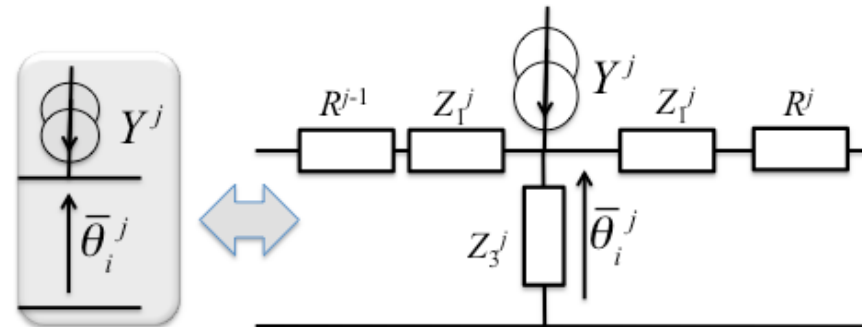
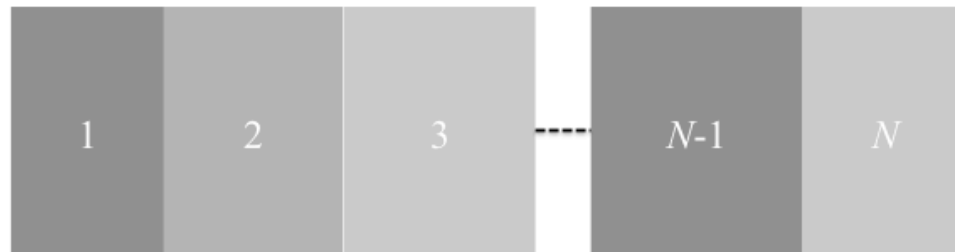
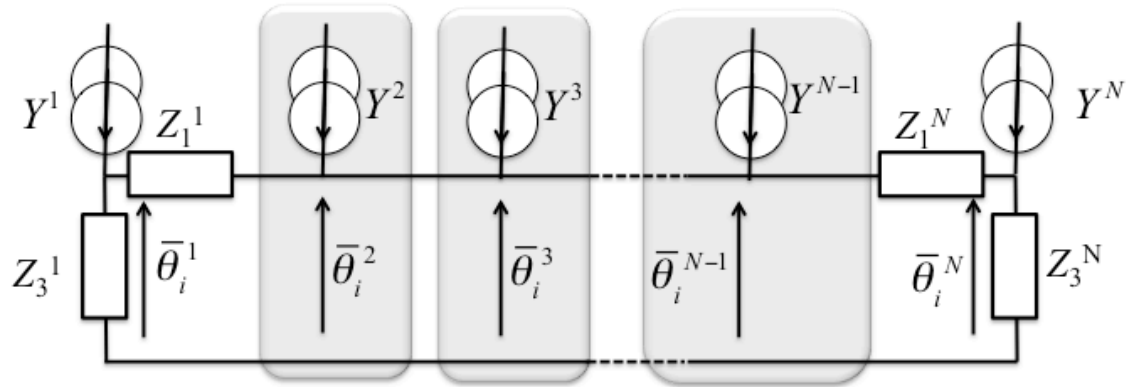
# Multicouches avec terme source localisé – matériaux $\neq$ - EF



# Multicouches avec terme source localisé - matériaux $\neq$ - QuadS



# Multicouches avec terme source localisé – matériaux $\neq$ - QuadS décomposition de la source







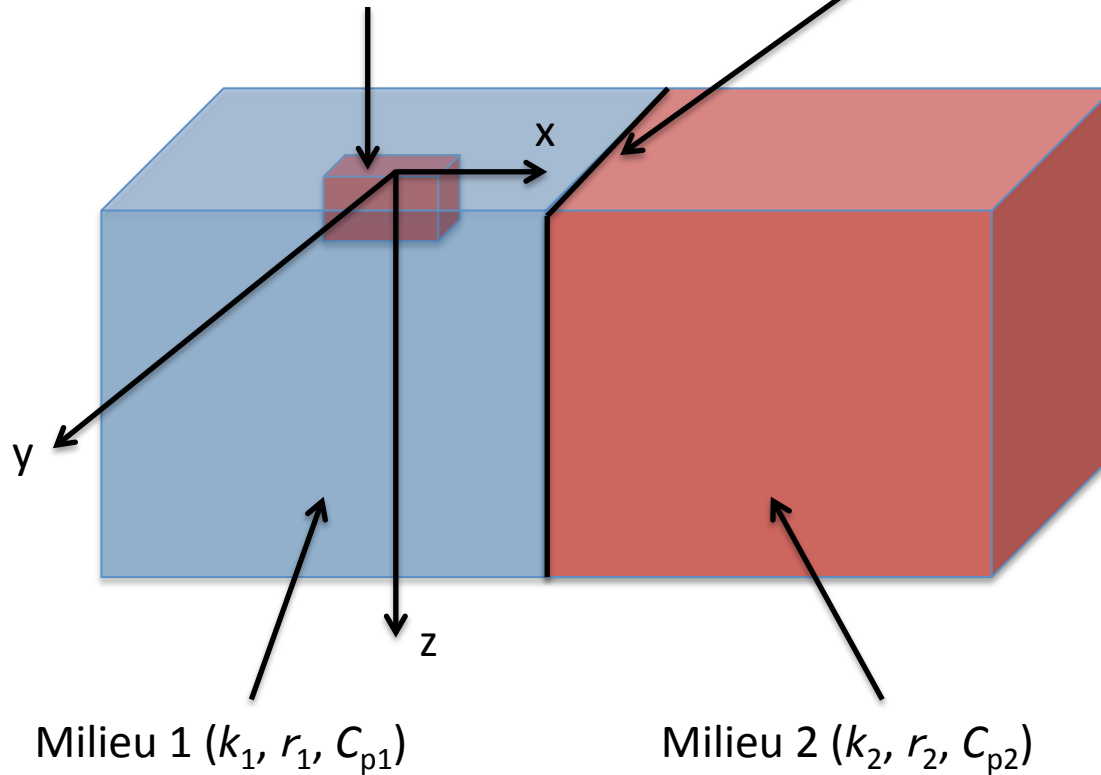
# Applications

- Thermo-réfectométrie
- Radiométrie IR avec source mobile (flying spot)
- Microscopie thermique à balayage...

# Configuration expérimentale

Source de chaleur se déplaçant dans le plan et avec une pénétration optique dans le milieu

Résistance thermique à l'interface entre les deux milieux



# Résolution

- Ce problème peut être résolu par :
  - EF : beaucoup d'éléments sont nécessaires si la source est de dimensions très petites par rapport aux dimensions des deux milieux
  - Analytique : méthode développée par Lepoutre et al. en 1995, nécessitant le calcul de 12 intégrales.

## **Micron-scale thermal characterizations of interfaces parallel or perpendicular to the surface**

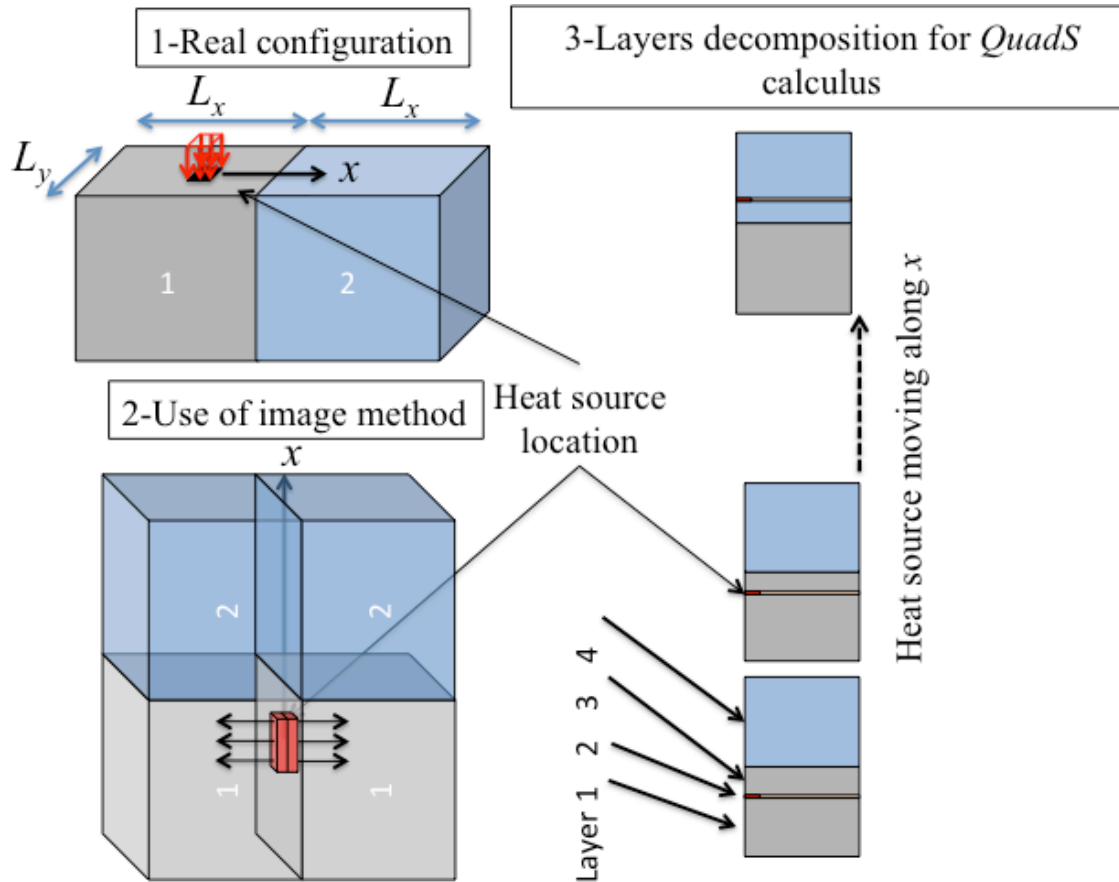
F. Lepoutre, D. Balageas, Ph. Forge, S. Hirschi, and J. L. Joulaud  
*ONERA, L3C, BP72, F92322 Châtillon, France*

D. Rochais  
*ONERA (L3C) and CEA, BP12, F91680 Bruyères le Chatel, France*

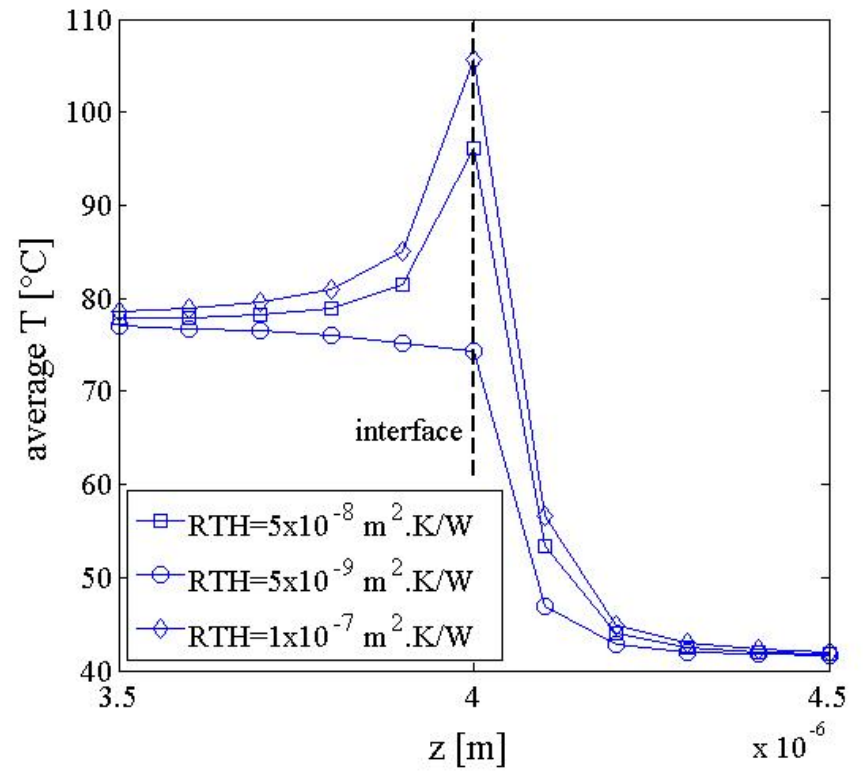
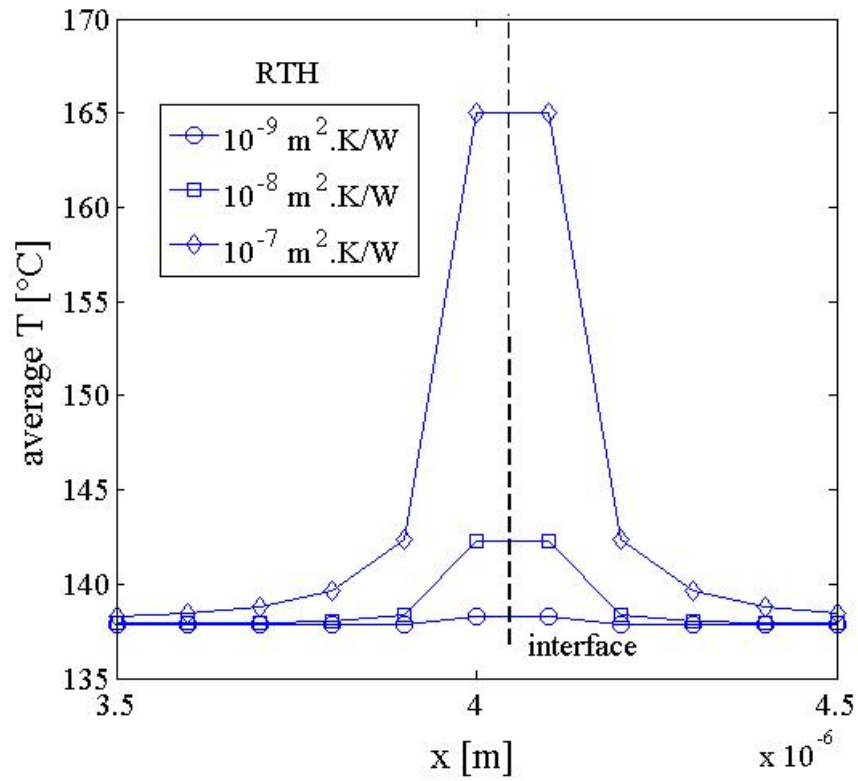
F. C. Chen<sup>a)</sup>  
*ONERA, L3C, BP72, F92322 Châtillon, France*

(Received 10 May 1994; accepted for publication 13 April 1995)

# Résolution par Qs



On forme dans un premier temps une image du domaine par rapport au plan supérieur (où se déplace la source)  
On fait une rotation de  $90^\circ$



	Layer 1				Layer 2			
	$k_x$	$k_y$	$k_z$	$\rho C_p$	$k_x$	$k_y$	$k_z$	$\rho C_p$
case 1	1.	1.	1.	1900 x 720	1.	1.	1.	1900 x 720
case 2	1.3	5.	5.	1900 x 720	3.5	3.5	3.5	2200 x 750